

## مطالعه ترمودینامیکی تشکیل کمپلکس‌های دی‌اکسو وانادیم ( $\text{V}_2\text{O}_2^+$ )، $\text{VO}_2^+$ ، با گلوتامیک اسید

دکتر حسین آقانی\* - سپیده کتابی\* - دکتر فرج قریب\*

\* گروه شیمی دانشگاه تربیت معلم - \*\* گروه شیمی دانشگاه شهید بهشتی

وانادیم در ترکیبات خود دارای حالت‌های اکسیداسیون مختلفی از ۱-تا-۵ است؛ اما تنها حالت‌های اکسیداسیون ۴ و ۵ آن در سیستم‌های بیولوژیکی اهمیت دارند. یکی از دلایل اهمیت ترکیبات وانادیم در سیستم‌های بیولوژیکی، توانایی آنها در تشکیل کمپلکس با آمینواسیدهای موجود در جانداران است. یون  $\text{VO}_2^+$  در pH‌های بالا به سهولت هیدرولیز شده و به  $\text{HVO}_2^+$  و  $\text{VO}_3^-$  تبدیل می‌شود [۵] و در محیط با قدرت اسیدی متوسط پلیمریزه می‌شود [۶]. به همین دلیل کار با آن بسیار مشکل است. با وجود این، کارهای پژوهشی متعددی در مورد کمپلکس‌های دی‌اکسو وانادیم (V) با آمینوکربوکسیلات‌ها صورت گرفته است. آمینوکربوکسیلات‌هایی که در مورد کمپلکس‌های آنها با  $\text{VO}_2^+$  مطالعاتی صورت گرفته است عبارتند از:

[۹] MIDA، [۱۰، ۱۱، ۱۲] EDTA

[۱۱] CDTA، [۱۲] IDA

در عین حال، در مورد کمپلکس‌های  $\text{VO}_2^+$  با آمینواسیدهای مقالات زیادی منتشر شده است. [۱۴، ۱۵، ۱۶]. در این تحقیق، تشکیل کمپلکس‌های  $\text{VO}_2^+$  با گلوتامیک اسید مورد مطالعه قرار گرفته است. گلوتامیک اسید دارای یک عامل آسیبی و دو عامل کربوکسیل است که هر سه ممکن است به عنوان عامل کمپلکس دهنده وارد واکنش شوند.

نکرهنگ از این تحقیق است که این اثراخراجی را برای این مطالعه در نظر نداشته باشد. این مطالعه در حقیقت مطالعه ایست که برای این اثراخراجی مطالعه می‌شود.

نام	تاریخ	تعداد
دکتر حسین آقانی	۱۳۹۷/۰۷/۰۷	۰۲
سپیده کتابی	۱۳۹۷/۰۷/۰۷	۰۲
دکتر فرج قریب	۱۳۹۷/۰۷/۰۷	۰۲
مجموع	۱۳۹۷/۰۷/۰۷	۰۶

خلاصه: مطالعه ایست که برای این اثراخراجی مطالعه می‌شود.

در سالهای اخیر به دنبال کشف وجود ترکیبات وانادیم در بافت موجودات زنده و نیز نقش برخی از این ترکیبات به عنوان بازدارنده در آنزیم‌های حیاتی مختلف، مطالعه بر روی ترکیبات وانادیم به ویژه کمپلکس‌های آن با آمینواسیدهای مورد توجه قرار گرفته است. برای مثال، وانادیم می‌تواند جایگزین  $\text{Zn}^{2+}$  در انسولین شود.

در این پژوهش، تشکیل کمپلکس‌های دی‌اکسو وانادیم (V)،  $\text{VO}_2^+$ ، با گلوتامیک اسید در قدرت یونی یک مول بر لیتر پرکلرات سدیم، در گستره pH ۱ الی ۹ و در سه دمای ۲۵، ۳۰ و ۳۵°C به روش اسپکتروفوتومتری در ناحیه UV مورد مطالعه قرار گرفته است و ثابت‌های پایداری و برخی توابع ترمودینامیکی کمپلکس‌های تشکیل شده محاسبه شده‌اند.

مقدمه:

N. G. Sefstiom عنصر وانادیم در سال ۱۸۳۱ توسط شناسایی شد [۱۹] و از آن به بعد مقالات تحقیقی بسیاری در مورد این عنصر و ترکیبات آن انتشار یافته است. با وجود این در همین دهه اخیر، به اهمیت بیولوژیکی وانادیم و نقش آن در آنزیم‌های حیاتی پی برده شده است [۱-۴].

در شرایط بالا از راه پتانسیومتری و با استفاده از برنا کامپیوتری Harvard Graphic حداقل مربعات) تعیین گردید. نتایج در جدول ۱ خلاصه شاست.

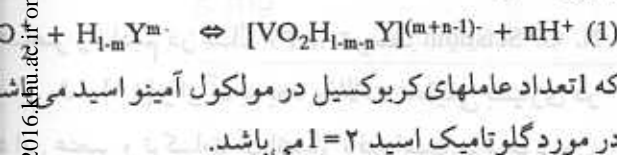
جدول ۱: ثابت‌های اسیدی گلوتامیک اسید در سه دما و در قدرت یونی یک مول بر پوکلات سدیم.

C/D <sub>دما</sub>	pK <sub>R(COOH)</sub>	pK <sub>2(α-NH<sub>3</sub>)</sub>
۲۵	۳/۶۷ ± ۰/۰۵	۸/۸۶ ± ۰/۰۵
۳۰	۳/۷۲ ± ۰/۰۵	۸/۸۳ ± ۰/۰۵
۳۵	۳/۷۶ ± ۰/۰۵	۸/۸۰ ± ۰/۰۵

(۲) تشکیل کمپلکس‌های  $\text{VO}_2^+$  با گلوتامیک اسید: جذب محلول حاوی  $\text{VO}_2^+$  با غلظت  $M^{-4} \times 10^{-4}$  گلوتامیک اسید با غلظت  $M^{-2} \times 10^{-2}$  در pH های مختلف و طول موجهای مختلف اندازه‌گیری شد و به عنوان نمود شکل ۱ به دست آمد. همانطور که مشاهده می شود، در گستره  $pH < 3$  و  $pH > 9$  جذب با pH شدیداً تغییر می کند که نشان دهنده تشکیل دو گونه کمپلکس در این محدوده‌های pH است.

همانطور که در مقدمه ذکر شد، دی‌اکسو وانادیم آزاد pH های بالا هیدرولیز و در محیط اسیدی متوسط پلیمر می شود. اما این دو اثر در حضور مقدار زیاد لیگاند و  $pH < 7/5$  قابل صرفنظر کردن است [۱۳].

واکنش میان یون دی‌اکسو وانادیم آزاد و آمینو اسیدها آنیونهای آنها در نخستین مرحله می تواند به وسیله الکتروکروماتوگرافی زیر بیان شود:



باتوجه به مقادیر  $pK$  گلوتامیک اسید، در pH های  $pH < 2/5$ ، این آمینو اسید به طور عمده به صورت  $\text{Y}^{\text{-}}$  می باشد و بنابراین با در نظر گرفتن الگوی کلی داده شده

### بخش تجربی:

#### مواد شیمایی مورد استفاده:

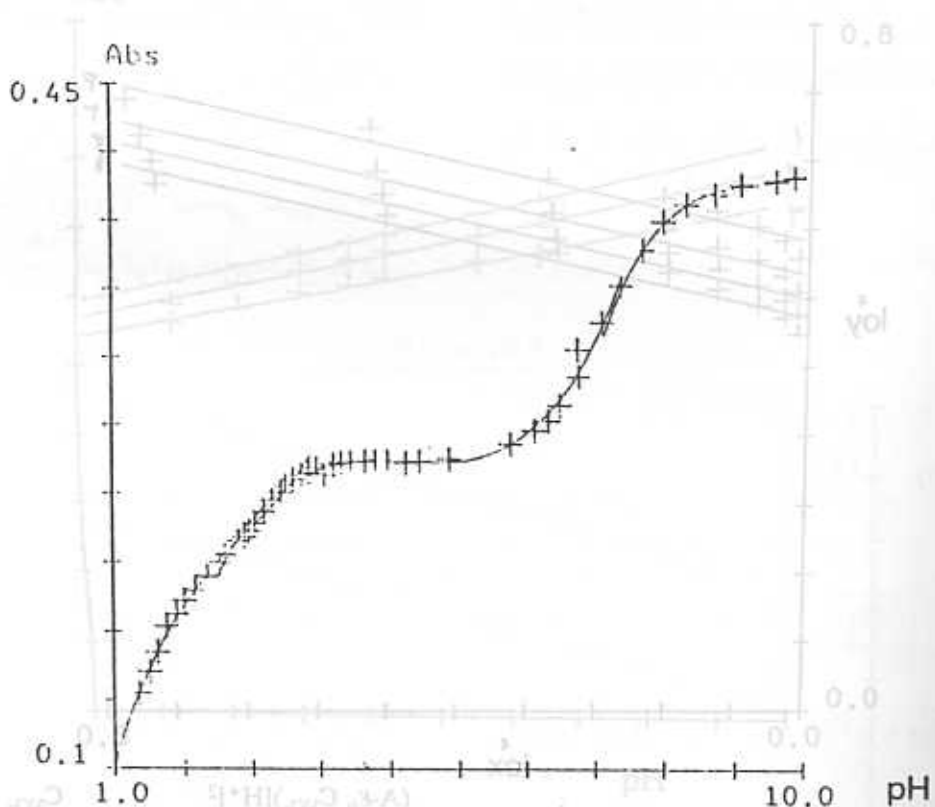
اسید پرکلریک (با درصد خلوص ۹۶٪)،  $\text{d}=1/53$ ، پرکلرات سدیم یک آبه (با درصد خلوص ۹۹٪) و هیدروکسید سدیم (با درصد خلوص ۹۹٪) از شرکت Merck تهیه شدند. ال- گلوتامیک اسید (با درصد خلوص بسیار بالا) از شرکت Merck و متاوانادات سدیم یک آبه (با درصد خلوص ۹۹٪) از شرکت Riedel - Dehaenag Seelze - Hannover تهیه شدند. محلول متاوانادات سدیم با سولفات آهن (II) استاندارد به روش تیتراسیون در مجاورت معرف مناسب [۱۷]، و همچنین اسید پرکلریک و هیدروکسید سدیم به ترتیب با محلولهای استاندارد پتاسیم هیدروژن کربنات [۱۸] و اسید پرکلریک تعیین غلظت شدند. در تمام آزمایشها از آب دویار تقطیر شده با هدایت الکتریکی ( $\mu\text{ohm}^{-1}$ ) استفاده شد.

#### دستگاههای مورد استفاده:

pH متر مورد استفاده از شرکت Eyela مدل 2000 بوده است. غلظت یون هیدروژن توسط الکترود شیشه‌ای Ingold Vo 3236 و الکترود کالومل Ingold Uo3234 اندازه‌گیری شده است. برای اندازه‌گیری اسپکتروفوتومتری، از اسپکتروفوتومتر UV-vis Shimadzu 2100 دو پرتوی مدل ۲۶۰ و ۴۵۰ ویک مجهز به یک کامپیوتر از نوع Shimadzu GDU-20C حمام آب از نوع Shimadzu TB 85، با دقت  $1^\circ\text{C} \pm 0.1^\circ\text{C}$  استفاده شده است. محلول توسط یک پمپ مکنده، Sipper 260، و در یک سیکل بسته از ظرف واکنش که الکترودهای پتانسیومتر در آن قرار دارند به سل اسپکتروفوتومتر و از آنجا به ظرف واکنش انتقال می یابد. بنابراین جذب و pH محلول به طور همزمان در دمای ثابت قابل اندازه‌گیری می باشد.

### نتایج تجربی:

(۱) تعیین ثابت‌های اسیدی گلوتامیک اسید: ثابت‌های اسیدی گلوتامیک اسید در سه دمای ۲۵ و ۳۰ و



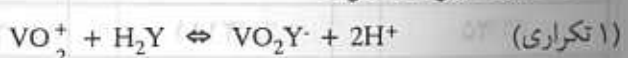
شکل ۱: تغییرات جذب بر حسب pH برای کمپلکس‌های  $\text{VO}_2^+$ -گلوتامیک اسید، در  $25^\circ\text{C}$  و در طول موج ۲۶۵ نانومتر.

$$\frac{C_{\text{VO}_2}}{A} = \frac{1}{\varepsilon_1} + \frac{(\varepsilon_1 - \varepsilon_0)(A - \varepsilon_0 C_{\text{VO}_2})[H^+]^2}{\varepsilon_1 K^H_{\text{VO}_2 Y} (\varepsilon_1 C_{\text{H}_2\text{Y}} - \varepsilon_0 C_{\text{H}_2\text{Y}} - A + \varepsilon_0 C_{\text{VO}_2}) A} \quad (6)$$

در این معادله  $C_{\text{VO}_2}$  و  $C_{\text{H}_2\text{Y}}$  به ترتیب غلظت‌های مولی اولیه  $\text{VO}_2^+$  و لیگاند،  $\varepsilon_0$  و  $\varepsilon_1$  به ترتیب ضرایب جذب مولی یون فلزی و کمپلکس و  $A$  جذب محلول می‌باشد.

بنویجه به معادله اخیر، چنانچه  $\frac{C_{\text{VO}_2}}{A} = \frac{(A - \varepsilon_0 C_{\text{VO}_2}) [H^+]^2}{\varepsilon_1 K^H_{\text{VO}_2 Y} (A - \varepsilon_0 C_{\text{VO}_2})}$  بر حسب رسم شود، بایستی خط راستی به دست آید تا تشکیل کمپلکس مربوطه را تائید کند (شکل ۲). با استفاده از عرض از مبدأ این خط،  $\varepsilon_1$  و با استفاده از شیب آن،  $K^H_{\text{VO}_2 Y}$  به دست می‌آید (جداول ۲ و ۳).

در معادله (۱)، واکنش تشکیل کمپلکس در  $pH < 2/5 < pH$  ممکن است به صورت زیر داده شود:



$$K = \frac{[\text{VO}_2\text{Y}^-][\text{H}^+]^2}{[\text{VO}_2^+][\text{H}_2\text{Y}]} \quad (2)$$

گلوتامیک اسید در طول موجهای مورد مطالعه دارای جذب نمی‌باشد [۲۰]؛ بنابراین بستگی جذب محلول با غلظت به صورت زیر نشان داده می‌شود

$$A = \varepsilon_0 [\text{VO}_2^+] + \varepsilon_1 [\text{VO}_2\text{Y}^-] \quad (3)$$

بنویجه به آن و براساس قانون موازنۀ جرم به معادله‌های زیر می‌رسیم:

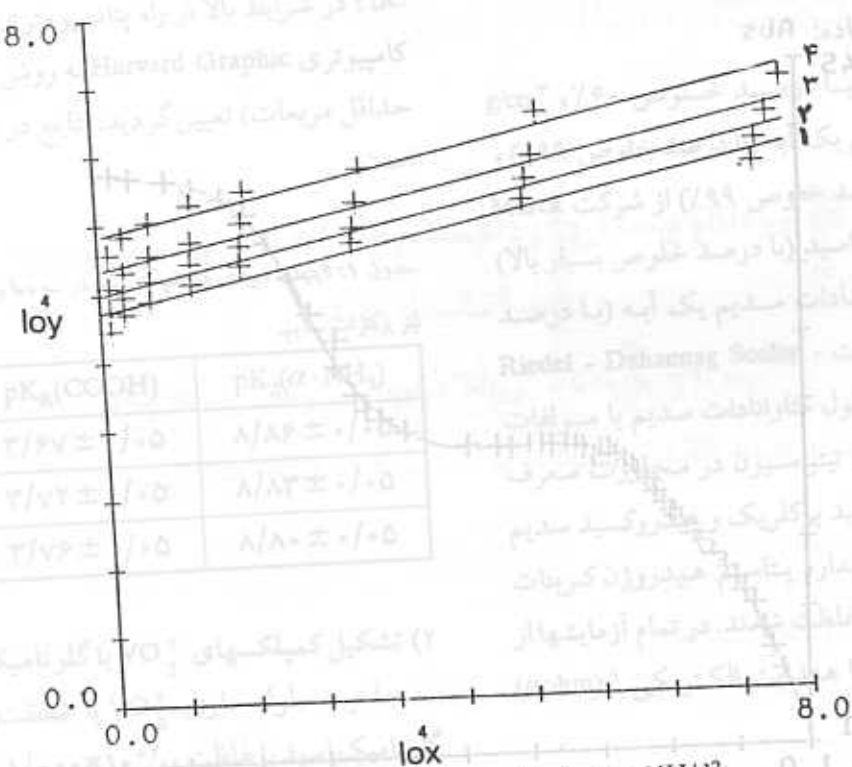
$$[\text{VO}_2^+] = C_{\text{VO}_2} - [\text{VO}_2\text{Y}^-] \quad (4)$$

$$[\text{H}_2\text{Y}] = C_{\text{H}_2\text{Y}} - [\text{VO}_2\text{Y}^-] \quad (5)$$

با فرار دادن معادله‌های (۴) و (۵) در معادله (۳) و نوآرایی آن،

به معادله زیر می‌رسیم:

$$\frac{[\text{Y}_2\text{OVI}]}{[\text{FY}]_{\text{E}+\text{OVI}}} = \text{const}$$

Glu\_acid, VO<sub>2</sub>

$$\text{شکل ۲: نمایش تغییرات} \quad y = \frac{(A - \epsilon_0 C_{VO_2}) [H^+]^2}{A} \quad \text{و حب}$$

پوکلرات سدیم و در طول موجهای (۱)، (۲)، (۳)، (۴)، (۵)، (۶)، (۷) و (۸) نانومتر.

جدول ۲: ضرائب جذب مولی کمپلکس  $VO_2Y^-$  در قدرت بونی یک مول پریتو پوکلرات سدیم در سه دما در ده طول موجهای مختلف.

$\lambda/\text{nm}$	۲۵۰	۲۶۰	۲۶۵	۲۷۰
۲۵	۲۱۸۱	۲۰۸۴	۱۹۷۳	۱۸۳۲
۳۰	۱۹۲۹	۱۸۴۷	۱۷۳۸	۱۶۱۱
۳۵	۱۶۳۶	۱۵۰۶	۱۴۸۳	۱۳۹۶

جدول ۳: میانگین مقادیر  $\log K_{VO_2Y^-}^H$  در دمای های مختلف.

$\text{دما}^\circ\text{C}$	۲۵	۳۰	۳۵
$\log K_{VO_2Y^-}^H$	-۰/۶۴ ± (۰/۰۴)	-۰/۷۴ ± (۰/۰۷)	-۰/۷۸ ± (۰/۱۲)

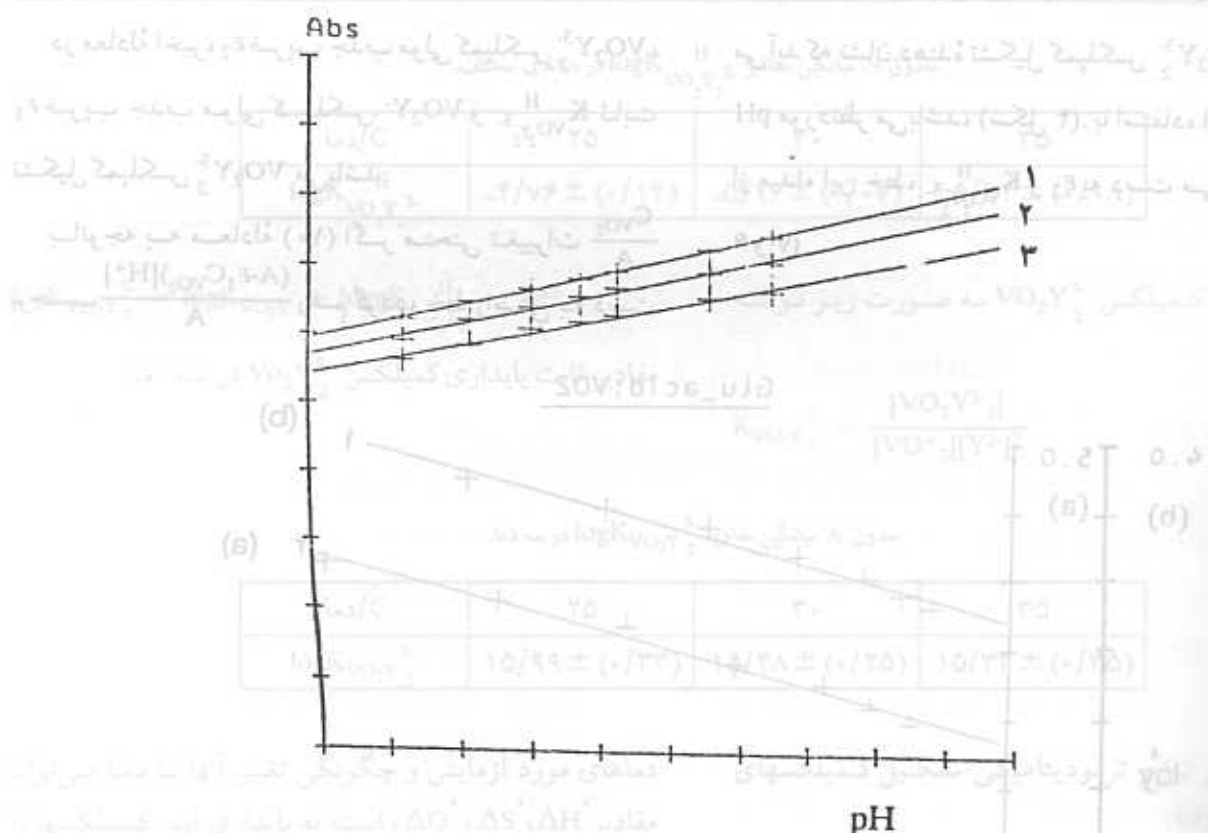
$$K_{VO_2Y^-}^H = \log K_{VO_2Y^-}^H + p_R^K + p_2^K \quad (۸)$$

مقادیر ثابت پایداری کمپلکس  $VO_2Y^-$  حاصل از پژوهش در سه دما در جدول ۵ آمده است.

ضریب جذب مولی  $VO_2^+$  در شرایط مورد مطالعه و در طول موجهای مختلف تعیین گردید. (جدول ۴ و شکل ۳)

ثابت پایداری کمپلکس  $VO_2Y^-$  به صورت زیر تعریف می شود:

$$K_{VO_2Y^-} = \frac{[VO_2Y^-]}{[VO_2^+][Y^{2-}]} \quad (۹)$$



شکل ۳: ساخت تغییرات جذب دی‌اکسو‌وانادیم (V) بر حسب pH در طول موجه‌ای مختلف: (۱) ۲۰۰، (۲) ۲۶۰، (۳) ۲۶۵ و (۴) ۲۷۰ نانومتر در دماهای ۲۵°C و در قدرت یونی یک مول بر لیتر پورکلرات سدیم.

جدول ۴: میانگین ضرائب  $\epsilon_0$ ،  $\text{VO}_2^+$ ، در دماهای مختلف و در قدرت یونی یک مول بر لیتر پورکلرات سدیم.

دما / °C	$\lambda/\text{nm}$	۲۰۰	۲۶۰	۲۶۵	۲۷۰
۲۵	۵۰۴	۵۲۳	۴۸۲	۴۲۹	
۳۰	۶۱۹	۵۹۵	۵۰۱	۴۸۷	
۳۵	۷۱۸	۷۰۴	۶۳۸	۵۶۲	

جدول ۵: میانگین مقادیر  $\log K_{\text{VO}_2\text{Y}^-}$  در جند دما.

دما / °C	۲۵	۳۰	۳۵
$\log K_{\text{VO}_2\text{Y}^-}$	۱۱/۸۹ ± (۰/۱۴)	۱۱/۸۱ ± (۰/۱۷)	۱۱/۷۸ ± (۰/۲۲)

از سوی دیگر، در  $\text{pH} < ۶$  نیر با توجه به شکل ۱، پیش‌بینی می‌شود که واکنش زیر در حال انجام باشد:

$$\frac{C_{\text{VO}_2}}{A} = \frac{1}{\epsilon_2} + \frac{(\epsilon_2 - \epsilon_1)(A - \epsilon_1 C_{\text{VO}_2})[\text{H}^+]}{K_{\text{VO}_2\text{Y}^-}^{\text{H}} \cdot \epsilon_2 (\epsilon_2 C_{\text{H}_2\text{Y}} - \epsilon_1 C_{\text{H}_2\text{Y}} - \epsilon_2 C_{\text{VO}_2} - 2\epsilon_1 C_{\text{VO}_2} + 3A)A}$$

$$\text{VO}_2\text{Y}^- + \text{HY} \rightleftharpoons \text{VO}_2\text{Y}^{3-} + \text{H}^+ \quad (9)$$

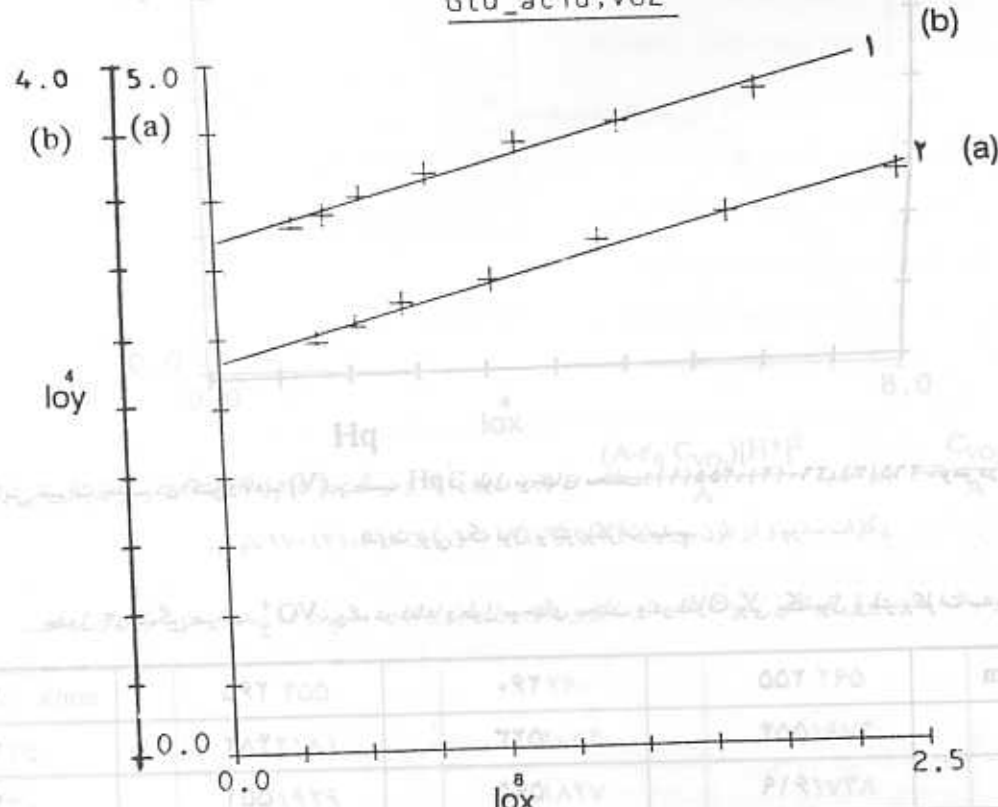
با همان استدلالهای قبلی معادله زیر برای تشکیل این کمپلکس به دست خواهد آمد:

می آید که نشان دهنده تشکیل کمپلکس  $\text{VO}_2\text{Y}^{3-}_2$  در محدود pH مورد نظر می باشد، (شکل ۴). با استفاده از شبیب و عرض از مبدأ این خط،  $K_{\text{VO}_2\text{Y}^{3-}_2}$  و  $\epsilon_1$  به دست می آید. (جدوا)

(۷ و ۸)

در معادله اخیر، ضریب جذب مولی کمپلکس  $\text{VO}_2\text{Y}^{3-}_2$ ،  $\epsilon_1$  ضریب جذب مولی کمپلکس  $\text{VO}_2\text{Y}^{3-}_2$  ثابت  $K_{\text{VO}_2\text{Y}^{3-}_2}$  تشکیل کمپلکس  $\text{VO}_2\text{Y}^{3-}_2$  می باشد.

با توجه به معادله (۱۰) اگر منجذی تغییرات  $\frac{C_{\text{VO}_2}}{A}$  بر حسب  $\frac{(A - \epsilon_1 C_{\text{VO}_2})[\text{H}^+]}{A}$  رسم گردد، خط راستی به دست

Glu\_acid; VO<sub>2</sub>

شکل ۴: نمایش تغییرات  $\frac{(A - \epsilon_1 C_{\text{VO}_2})[\text{H}^+]}{A}$  بر حسب  $\frac{C_{\text{VO}_2}}{A}$  در دمای  $30^\circ\text{C}$  و در گستره  $\text{pH} < 6$  و در قدرت یونی یک مول بوئتو پوکلرات سدیم، در طول موجهای ۲۶۰ و ۲۶۵ نانومتر.

جدول ۶: صواب جذب مولی کمپلکس  $\text{VO}_2\text{Y}^{3-}_2$  در سه دما و در طول موجهای مختلف و در قدرت یونی یک مول بوئتو پوکلرات سدیم.

$\lambda/\text{nm}$	۲۵۵	۲۶۰	۲۶۵	۲۷۰
۲۵	۳۶۰۶	۳۶۷۸	۳۶۸۵	۳۵۰۴
۳۰	۳۳۳۳	۳۵۲۲	۳۶۲۳	۳۴۸۱
۳۵	۳۱۸۳	۳۴۰۴	۳۵۲۱	۳۴۲۷

جدول ۷: میانگین مقادیر  $\log K_{VO_2Y^{3-}}$  در دماهای مختلف.

دما / °C	۲۵	۳۰	۳۵
$\log K_{VO_2Y^{3-}}$	-۴/۷۶ ± (۰/۱۴)	-۵/۱۶ ± (۰/۰۷)	-۵/۲۴ ± (۰/۰۸)

ثابت پایداری کمپلکس  $VO_2Y^{3-}$  به صورت زیر نوشته می شود:

مقادیر ثابت پایداری کمپلکس  $VO_2Y^{3-}$  در سه دما.

$$K_{VO_2Y^{3-}} = \frac{[VO_2Y^{3-}]}{[VO_2^+][Y^{2-}]^2}$$

جدول ۸: میانگین مقادیر  $\log K_{VO_2Y^{3-}}$  در سه دما.

دما / °C	۲۵	۳۰	۳۵
$\log K_{VO_2Y^{3-}}$	۱۵/۹۹ ± (۰/۳۳)	۱۵/۴۸ ± (۰/۲۵)	۱۵/۳۳ ± (۰/۳۵)

دماهای مورد آزمایش و چگونگی تغییر آنها با دما می توان مقادیر  $\Delta H^\circ$ ,  $\Delta S^\circ$  و  $\Delta G^\circ$  وابسته به پایداری این کمپلکسها را تخمین زد (جدول ۹).

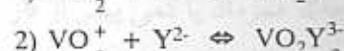
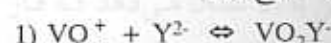
(۳) تعیین برخی توابع ترمودینامیکی تشکیل کمپلکسهای  $VO_2Y^{3-}$  و  $VO_2Y^-$  با استفاده از ثابت‌های پایداری هر یک از کمپلکسها در

جدول ۹: مقادیر  $\Delta H^\circ$ ,  $\Delta S^\circ$  و  $\Delta G^\circ$  در ۲۵°C

کمپلکس مورد نظر	$\Delta H^\circ$ (kJ/mol)	$\Delta S^\circ$ (J/molK)	$\Delta G^\circ$ (kJ/mol)
$VO_2Y^-$	-۱۹/۲۹	۱۶۲/۷۹	-۶۷/۸۰
$VO_2Y^{3-}$	-۱۱۵/۲۷	-۸۱/۷۶	-۹۰/۹۰

می شوند، بنابراین انتظار می رود که پایدارتر از مواد تشکیل دهنده خود باشند. این پایداری با استفاده از یک مدل ساده الکتروستاتیکی قابل توضیح است. منفی بودن  $\Delta H^\circ$  در جدول ۹ تائید کننده این نتیجه گیری است. برای توجیه مقادیر  $\Delta S^\circ$  باید در نظر داشته باشیم که تغییر آنتروپی وابسته به این سیستم تشکیل کمپلکس، در واقع مجموع تغییرات آنتروپی تشکیل کمپلکس و تغییرات آنتروپی حوزه حلالی اطراف یونهای شرکت کننده در واکنش می باشد. با توجه به واکنش (۱) و (۲) چنانچه فقط به تعداد گونه های واکنش دهنده و حاصل توجه کیم پیش بینی می شود که آنتروپی در حین تشکیل هر دو

بحث و نتیجه گیری:  
با توجه به جداول ۲ و ۵، مشخص می شود که ضریب جذب مولی و کلاً جذب کمپلکس  $VO_2Y^-$  بزرگتر از  $VO_2^+$  و ضریب جذب مولی  $VO_2Y^{3-}$  بزرگتر از  $VO_2Y^-$  می باشد که این مسئله از نمودار جذب بر حسب  $pH$  کاملاً مشهود است. عموماً واکنشهای تشکیل کمپلکس گرماده هستند. با توجه به واکنشهای تشکیل کمپلکس به شرح زیر:



هر دو کمپلکس چون از به هم پیوستن بارهای مخالف حاصل

وابسته به کم شدن تعداد یونها در واکنش تشکیل کمپلکس گردد و لذا  $\Delta S^\circ$  در مجموع مثبت شود. اما بر عکس انتفای رودکه در واکنش (۲)، کاهش آنتروپی مربوط به کم شدن تعداد یونها در واکنش تشکیل کمپلکس، بیشتر از افزایش آنتروپی حوزه حلالی باشد و در نتیجه  $\Delta S^\circ$  روی هم رفته منتهی شود.

کمپلکس کاهش یابد، در عین حال کاهش آنتروپی در واکنش (۲) بیشتر از واکنش (۱) باشد. از سوی دیگر چون یونها در محلول، از حوزه حلالی منظم تری برخوردارند، بنابراین پیش‌بینی می‌شود که با واکنش دادن آنها، آنتروپی حلال در هر دو واکنش (۱) و (۲) افزایش یابد. و احتمالاً این افزایش آنتروپی حوزه حلالی در واکنش (۱) بیش از کاهش آنتروپی

## REFERENCES

- 1- Bonadiez, J. A.; Butler, W. M.; Pecoraro, V. L.; Pecoraro, C. J. Inorg. Chem. 1987, 26, 1218.
- 2- Deboer, E.; Vankooijk, Y.; Tromp, M. G. M.; Plat, H.; Verwer, R. Biochimica et Biophysica Acta, 1986, 869, 48.
- 3- Hales, B. J.; Case, E. E.; Morning Star, J. E.; Dzeda, M. Mauterer, L. A. Biochemistry, 1986, 25, 7251.
- 4- Holm, R. H.; Kovacs, J. A.; Inorg. Chem., 1987, 26,
- 5- S. Yamada, S. Funahashi and M. tanaka, J. Inorg. Nucl. Chem. 1975, 37, 835.
- 6- F. J. C. Rossotti and H. Rossotti, Acta Chem. Scand., 1961, 10, 957.
- 7- J. Lagrange and P. Lagrange, Bull. Soc. Chim Fr., 1972,
- 8- K. Kustin and D. L. Toppen, J. Am. Chem. Soc., 1973, 95, 3564.
- 9- Yamada, Y. Ukei, M. Tanaka, Inorg. Chem., 1976, 15, 29.
- 10- J. Lagrange and P. Lagrange, Inorg. Chem., 1979, 18,
- 11- S. Yamada, J. Nagase, S. Funahashi and M. tanaka, J. Inorg. Nucl. Chem., 1976, 38, 617.
- 12- J. I. Itoh, T. Yotsuyangi and K. Amura, Analytica Chimica Acta, 1975, 76, 471.
- 13- K. Zare, P. Lagrange, and J. lagrange, J. Chem. Soc, Dalton Trans., 1979, 1372.
- 14- S. A. Khorrami, F. Charib, K. Zare, H. Aghai, Iranian J. of Chem. and Chem. Eng., 1992, 11, 17.
- 15- F. Gharib, K. Zare, S. A. Khorrami, J. Chem. Eng. Data, 1995, 40, 186.
- 16- H. Aghai, F. Gharib, J. Abedini, J. Sci. Tarbiat Moallem University, 1994, 6, 1, 39.
- 17- G. Charlot, Les Méthods de la Chimie Analytique, Analyse Quantitative, 4th. Ed., Masson, Paris, 1961.
- 18- J. Lagrange, K. Ako and p. Lagrange, J. Chem. Soc, Dalton Trans., 1984, 239.
- 19- Green Wood, N. N., Earnshaw, A. In Chemistry of the Elements, Pergamon Press, 1984, 1138.
- 20- A. L. Lehninger, Biochemistry, Second ed., Worth Publishers, Inc., 1975.